

## 密度躍層における乱流構造

九州大学工学部 正員 ○松永 信博

九州大学工学部 正員 横東一郎

九州大学工学部 正員 小松 利光

九州大学工学部 学生員 仲敷 喬和

### 1. まえがき

密度二成層流体での界面における連行機構を解明するための一つの基礎的アプローチとして、振動格子による生ずる乱れと連行量との関係が数多く研究されていく。特に、浦らは同一液体中の流速変動を測定し、その結果を二層場に導入することにより連行量を定量化している。しかしながら、密度躍層の存在による同一液体場の乱れ特性が変形を受けることが予想されことから、本研究では密度界面位置を定常状態に保つことにより二成層流体における流速変動を測定し、密度躍層が乱れに及ぼす効果について調べた。

### 2. 実験装置および実験方法

実験水槽は、長さ100cm、深さ10cm、幅25cmで、全面透明なアクリル板で作られていく。底から8cmの位置に水平に格子を設置し、それを上下に振動させることにより乱れを発生させる。格子は角柱正方形格子で格子の幅は1cm、格子のメッシュMは5.0cmであった。格子によって生じた流速変動は、スコット・フィルム流速計を取り付け、一定速度で走行させることにより測定された。台車速度は約1.4cm/sであった。装置に関する詳記は、文献を参照されたい。ここで、便宜上台車走行方向にX軸を、格子振動中心から盤直上向きにZ軸をとることにする。今回は、格子振動のゆらぎを少なくすため、スコット・ランク・システムに改良を加えたので、振動数が2.0Hzと4.0Hz、振動幅S<sub>0</sub>が1.0cmの条件下、改めて同一液体中の流速変動を測定した。次に、淡塩水の二成層場を作成し下層流体(塩水層)を振動させ実験を行った。この場合、上下層にそれぞれ初期密度の淡塩水と一緒に供給し、実質加えて流量と下層から排水するといった工夫を施し、界面を通じて下層流体が上層流体を連行するに生ずる躍層の上昇を抑え、界面位置を定常に保つ。濃度計をスコット・フィルム流速計に取り付けることにより、下層流体と躍層内の流速変動と密度変動を測定した。測定は、各断面において5回ずつを行い、変動の統計量を5回の平均で表した。界面には、2つの内部波高計を設置し、界面変動の定点測定を行った。波高計の間隔は1.6cmから下層水深の約2倍程度まで変化させた。主な実験条件を表-1に示す。

### 3. 実験結果よりの考察

(i) 同一流体中に誘起される乱れ特性：図-1(a), (b)は、同一液体中に誘起されたX, Z方向の流速変動強度U', W'の鉛直分布を示したものである。U', W'はともに格子振動中心からの距離S<sub>0</sub>/Mに対して減衰する。これは、浦らの実験式(図中の点線)と矛盾しないが、今回の実験では、定数がわずかに小さく0.19程度の値をとるようである。また、U'とW'の分布に顕著な違いは見られない。流速変動に関するその他の特性量、つまり積分スケールや組織渦スケールに關してもX方向とZ方向の差違は認められず、浦らが提案した実験式とよく一致している。これらのことから、振動格子によつて同一液体中に誘起される乱れは、方向性をほとんど持たないことがわかる。

Run	作実条件	S <sub>0</sub> (cm)	C <sub>z</sub> (Hz)	D <sub>0</sub> (cm)	$\epsilon = \frac{D_0 - S_0}{S_0}$	R <sub>i</sub> (m/s)
1	同一液体	4.0	2.0			
2	同一液体	4.0	4.0			
3	淡塩水	4.0	2.0	7.3	0.04163	11.308
4	淡塩水	4.0	2.0	10.6	0.04147	13.428
5	淡塩水	4.0	2.0	13.3	0.03860	10.270

D<sub>0</sub>=水槽底面より振動中心までの距離

D<sub>0</sub>=振動中心より界面までの距離

P<sub>1</sub>=上層流体の密度 R<sub>i</sub>≡E<sub>f</sub>(D<sub>0</sub>+D<sub>0</sub>)/(f<sub>0</sub>S<sub>0</sub>)<sup>2</sup>

P<sub>2</sub>=下層流体の密度

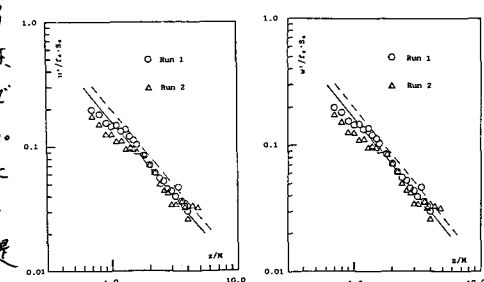


図-1 同一流体中の乱れ強度

$$----; U'/f_0 S_0, W'/f_0 S_0 = 0.22(S_0/M)^{0.19}$$

(ii) 二成層流場における乱れ特性：図-1は、二成層流体中における乱れ強度の鉛直分布を示したものである。図中の斜線部は、密度躍層の範囲を、実線は均一流体中における乱れ強度の分布を示している。密度界面から十分離れた所での乱れ強度は、均一流体中での減衰則にほぼ従うが、躍層内では急激に乱れが減衰している。これは、渦のめぐ運動量が浮力効果により抑制されたためと考えられる。躍層内でも均一流体場と同様、 $u'$ と $w'$ との間に顕著な違いは見られない。図-2は、積分長さスケール $L_x$ と $L_z$ の鉛直分布を示したものである。 $L_x$ と $L_z$ はそれぞれ上方と下方の変動速度の自己相関係数から積分時間スケールを求め、それに台車速度をかけてしたものである。界面より十分離れたところでは、 $L_x$ と $L_z$ とともに逆比例して増大するという均一流体場での特性とほぼ同じ傾向が見られるが、界面に近づくにつれ $L_x$ は急激に増大し、 $L_z$ は減少する。これは、密度躍層があらゆる壁面的特徴を剥離し、渦を偏平にするためであると考えられる。

図-3は、上方と下方の変動流速の自己相関係数から卓越周期を読み取り、それそれに台車速度をかけることにより、求めた大規模渦スケール $L_x$ と $L_z$ の鉛直分布を示したものである。格子近傍では、 $L_x$ と $L_z$ はメッシュスケールを持ち、かぎりのばらつきはあるが、その増加とともに大きくする傾向が見られる。

しかしながら、界面に近づくにつれ積分スケールと同様、 $L_x$ は急激に大きくなり $L_z$ は減少する。このように、大規模渦スケールの渦から積分スケール程度の渦まで、密度躍層の存在の影響を受け変形することがわかる。図-4は、2つの波高計によることによって測定された界面変動の相互相関係数を波高計の間隔に対してプロットしたものである。間隔が大きくなるにつれ、相関係数は小さくなる、ている。図6は、躍層の下面における $L_x$ の値を図5で示すより相互相関係数が0となる間隔 $L_w$ に対してプロットしたものである。 $L_x = L_w$ であることから、界面変動は、大規模渦が界面に衝突することによつて生ずる変動を含んでいふことが推測される。

最後に、実験データ整理に協力して下さった細山田得三君に感謝します。

#### 参考文献

浦勝・小松利光・松永信博：振動格子乱れによる密度界面の変動特性と連行現象；土木学会論文集 第45号/II-1 1984年5号

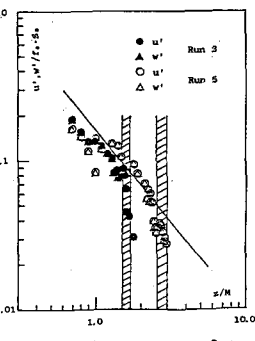


図-2 二層流体中の乱れ強度分布

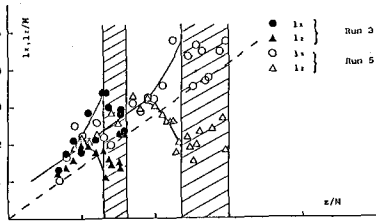


図-3 積分スケールの分布

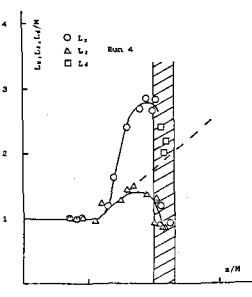


図-4 大規模渦スケールの分布

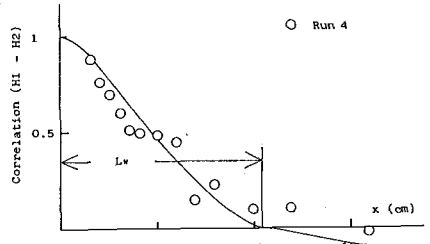


図-5 界面変動の相互相関係数

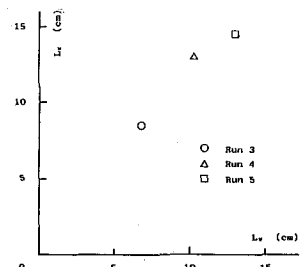


図-6 大規模渦スケールと界面変動スケールとの比較